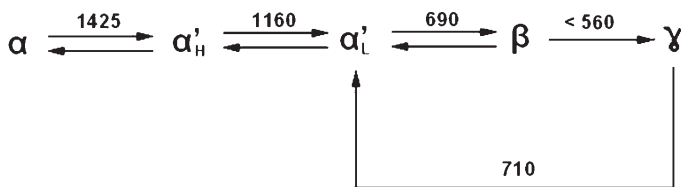


Wpływ stabilizatorów na hydrację $\beta\text{-C}_2\text{S}$

Effect of stabilizers on $\beta\text{-C}_2\text{S}$ hydration

1. Wprowadzenie

Krzemian dwuwapniowy, występujący zazwyczaj jako $\beta\text{-C}_2\text{S}$, odgrywa istotną rolę w kształtowaniu cech użytkowych cementów portlandzkich w późnych okresach ich twardnienia, stanowi również składnik szeregu typów cementów specjalnych (1,2). Tworzy pięć odmian polimorficznych, spośród których cztery odmiany: α -, α'_H -, α'_L - i $\gamma\text{-C}_2\text{S}$ posiadają w warunkach normalnego ciśnienia rzeczywiste zakresy trwałości termodynamicznej, natomiast odmiana $\beta\text{-C}_2\text{S}$ w jest odmianą metatrwałą. Schemat przemian polimorficznych krzemianu dwuwapniowego przedstawiono na rysunku 1.



Rys.1. Schemat przemian polimorficznych krzemianu dwuwapniowego (3)

Fig. 1. Polymorphic transitions of dicalcium silicate (3)

Zapewnienie trwałość $\beta\text{-C}_2\text{S}$ w temperaturze pokojowej stanowi ważny czynnik warunkujący dobrą jakość klinkieru portlandzkiego. Można ją osiągnąć poprzez wprowadzenie do krzemianu dwuwapniowego obcych jonów – stabilizatorów (B^{3+} , P^{5+} , V^{5+} , As^{5+} lub Cr^{6+}) oraz w wyniku syntezy C_2S prowadzonej w dostatecznie niskiej temperaturze lub wielokrotne powtarzanie cykli ogrzewanie proszków C_2S w określonych temperaturach i ich chłodzenie. Uzyskanie małych kryształów $\beta\text{-C}_2\text{S}$ zmniejsza prawdopodobieństwo nukleacji zarodków $\gamma\text{-C}_2\text{S}$ i ogranicza możliwości ich rozrostu, prowadząc do stabilizacji $\beta\text{-C}_2\text{S}$. Powstanie dużych kryształów $\beta\text{-C}_2\text{S}$ stwarza dogodne warunki dla przemiany $\beta\text{-C}_2\text{S} \rightarrow \gamma\text{-C}_2\text{S}$. Obszerne zestawienie stabilizatorów, które zastosowano do uzyskania $\beta\text{-C}_2\text{S}$ zawiera monografia Kurdowskiego (4), natomiast warunki obróbki termicznej zapewniające uzyskanie względnie trwałej w normalnych warunkach odmiany $\beta\text{-C}_2\text{S}$ opisano w pracy (5).

Dotychczas nie udało się wyjaśnić w pełni mechanizmów stabilizacji. Wydaje się, że stabilizatory $\beta\text{-C}_2\text{S}$ powodują wzrost

1. Introduction

Dicalcium silicate, occurring generally as $\beta\text{-C}_2\text{S}$, has a serious impact on cement properties at later ages of hardening. This phase is a constituent of several special cement materials (1, 2). There are five dicalcium silicate polymorphs; among them the α -, α'_H -, α'_L - and $\gamma\text{-C}_2\text{S}$ are thermodynamically stable in the appropriate temperature range at ambient pressure, while the $\beta\text{-C}_2\text{S}$ phase is metastable. The sequence of dicalcium silicate polymorphic transitions is shown in Fig. 1.

The stability of $\beta\text{-C}_2\text{S}$ at room temperature is very important for the quality of Portland cement clinker. This can be achieved by the incorporation of some foreign ions - stabilizers, such as B^{3+} , P^{5+} , V^{5+} , As^{5+} or Cr^{6+} to the dicalcium silicate structure, as well as by the low temperature synthesis or repeated C_2S heating – cooling cycles. The probability of $\gamma\text{-C}_2\text{S}$ nucleation and further crystal growth in the very small $\beta\text{-C}_2\text{S}$ crystals thus produced decreases, resulting in the $\beta\text{-C}_2\text{S}$ stabilization. The formation of large $\beta\text{-C}_2\text{S}$ crystals promotes, in turn, the $\text{C}_2\text{S} \rightarrow \gamma\text{-C}_2\text{S}$ transition. The $\beta\text{-C}_2\text{S}$ stabilizers are discussed in the comprehensive study by Kurdowski (4); in the other work (5) the stabilization of $\beta\text{-C}_2\text{S}$ polymorph as a function of thermal treatment conditions is highlighted.

The mechanism of dicalcium silicate stabilization has not been yet fully explained. It seems that the stabilizers provoke the rise of structural imperfections and therefore the C_2S structure becomes highly disordered. This gives the similar effect as the rise of lattice vibrations amplitude with temperature and hampers, as a consequence, the $\gamma\text{-C}_2\text{S}$ nucleation rate and further growth of nuclei. The relationship between the effectiveness of stabilizers and their oxidation number (6) seems to indicate more complex stabilization mechanism. An original approach to the $\beta\text{-C}_2\text{S}$ stabilization was presented by Handke and Ptak (7), who proved the formation of fairly small, randomly oriented anion domains with the foreign ions concentrated on their boundaries; these domains should contribute to the $\beta\text{-C}_2\text{S}$ stabilization at ambient temperature. The stabilizing effect is bound structurally to the differences between the anion and cation sub-lattice changes occurring on transitions.

The studies reported in this work focused on the effect of the $\beta\text{-C}_2\text{S}$ stabilization method upon the $\beta\text{-C}_2\text{S}$ hydraulic activity, at

koncentracji defektów w strukturze C_2S , zwiększąc stopień jej nieuporządkowania. Daje to podobny efekt jak zwiększenie amplitudy drgań elementów struktury, spowodowane wzrostem temperatury i skutkuje ograniczeniem liczbę tworzących się zarodków $\gamma\text{-}\text{C}_2\text{S}$ oraz zahamowaniem ich wzrostu. Zależność intensywności działania stabilizatorów od ich stopnia utlenienia (6), wskazuje jednak na bardziej złożony mechanizm stabilizacji. Interesujący opis mechanizmu stabilizacji $\beta\text{-}\text{C}_2\text{S}$ przedstawili Handke i Ptak (7), którzy podkreślając różnice w zmianach symetrii podsiedzi anionowej i kationowej zaznaczające się podczas przemian polimorficznych C_2S wykazali, utworzenie dostatecznie małych, odmiennie zorientowanych w przestrzeni domen anionowych, na granicach których może nastąpić koncentracja obcych jonów, jest wystarczającym warunkiem do zapewnienia stabilizacji $\beta\text{-}\text{C}_2\text{S}$ w warunkach normalnych.

W pracy starano się odpowiedzieć na pytanie jak na aktywność hydrauliczną $\beta\text{-}\text{C}_2\text{S}$ wpływają warunki, w jakich dokonano jej stabilizacji, przy założeniu, że do syntezy $\beta\text{-}\text{C}_2\text{S}$ użyte będą materiały zbliżone do surowców stosowanych w warunkach przemysłowych, a zatem mieszanki, których podstawowymi składnikami są CaCO_3 i SiO_2 .

2. Czynniki kształtujące postęp hydratacji $\beta\text{-}\text{C}_2\text{S}$

Kinetyka reakcji zachodzących w układzie $\beta\text{-}\text{C}_2\text{S}-\text{H}_2\text{O}$, rodzaj produktów oraz wykształcenie ich struktur i ich morfologia, uzależnione są od warunków prowadzenia hydratacji (temperatura, ciśnienie, stosunek I/s, sposób mieszania reagentów), uziarnienia $\beta\text{-}\text{C}_2\text{S}$ oraz od „czynników strukturalnych”, zależnych od obróbki termicznej i warunków, w jakich dokonano stabilizacji $\beta\text{-}\text{C}_2\text{S}$.

Produktami reakcji $\beta\text{-}\text{C}_2\text{S}$ z wodą w temperaturze $< 100^\circ\text{C}$ są niemal amorficzne C-S-H oraz $\text{Ca}(\text{OH})_2$. Wzrost temperatury w zakresie $0\text{--}100^\circ\text{C}$ powoduje w zaczynach $\beta\text{-}\text{C}_2\text{S}$ o tym samym I/s niewielkie zwiększenie stosunku molowego Ca:Si w C-S-H oraz nieznaczny wzrost średniego stopnia polikondensacji anionów krzemotlenowych. Obserwuje się też pewne obniżenie w C-S-H stosunku molowego $\text{H}_2\text{O}:\text{SiO}_2$ (8). Wzrost temperatury zwiększa szybkość hydratacji $\beta\text{-}\text{C}_2\text{S}$. Podwyższenie temperatury hydratacji $> 100^\circ\text{C}$ prowadzi do stopniowego zaniku C-S-H oraz $\text{Ca}(\text{OH})_2$ i narastania w zaczynach zawartości „ $\alpha\text{-}\text{C}_2\text{S}$ hydratu”. Całkowita hydratacja bardzo aktywnego $\beta\text{-}\text{C}_2\text{S}$, otrzymanego w wyniku termicznego rozkładu hillebrandytu następuje w 25°C po 14 dniach, gdy I/s = 1 lub po 28 dniach, gdy reakcja ortokrzemianu wapnia z wodą przebiegała w zaczynie o stosunku I/s = 0,5 (9). Wpływ temperatury na procesy zachodzące w układzie $\beta\text{-}\text{C}_2\text{S}-\text{H}_2\text{O}$ był również przedmiotem pracy (10), której autorzy prowadzilihydrację $\beta\text{-}\text{C}_2\text{S}$ w zawiesinie wodnej (I/s = 20). Poniżej 80°C reakcja przebiegała powoli, a obok C-S-H i $\text{Ca}(\text{OH})_2$, nawet po dłuższych okresach czasu, obserwowały się relikty $\beta\text{-}\text{C}_2\text{S}$. Wzrost temperatury hydratacji do 80°C doprowadził po 24 godzinach do całkowitego zaniku $\beta\text{-}\text{C}_2\text{S}$. Produktami hydratacji $\beta\text{-}\text{C}_2\text{S}$ w tych warunkach pozostały jednak nadal $\text{Ca}(\text{OH})_2$ i niemal bezpostaciowe C-S-H. Wzrost temperatury do 130°C spowodował utworzenie się krysta-

assumption that the synthesis was done basing on the CaCO_3 and SiO_2 mixture; these components are present in the industrial raw meal.

2. Factors affecting $\beta\text{-}\text{C}_2\text{S}$ hydration

The kinetics of reactions occurring in the $\beta\text{-}\text{C}_2\text{S}-\text{H}_2\text{O}$ system, type of products, their structure and morphology are strongly dependent upon the conditions, such as temperature, pressure, I/s ratio, homogenization, as well as upon the $\beta\text{-}\text{C}_2\text{S}$ fineness and some „structural factors”, being the consequence of thermal treatment and stabilization procedure.

The nearly amorphous C-S-H and $\text{Ca}(\text{OH})_2$ are the $\beta\text{-}\text{C}_2\text{S}$ hydration products at temperatures $< 100^\circ\text{C}$. As the temperature rises in the range $0\text{--}100^\circ\text{C}$, the C/S molar ratio, as well as the silicate anions mean condensation degree slightly increase in the pastes produced at the same I/s ratio. Some lowering of the $\text{H}_2\text{O}:\text{SiO}_2$ ratio in C-S-H is also observed (8). At higher temperature the $\beta\text{-}\text{C}_2\text{S}$ hydration rate increases. Above 100°C the C-S-H and $\text{Ca}(\text{OH})_2$ are reduced and simultaneously the „ $\alpha\text{-}\text{C}_2\text{S}$ hydrate” appears. The full hydration of very active $\beta\text{-}\text{C}_2\text{S}$ produced by thermal decomposition of hillebrandite takes place at 25°C after 14-day maturing in the paste with I/s = 1. When the reaction occurs in the paste with I/s = 0,5, it takes 28 days (9). The effect of temperature on $\beta\text{-}\text{C}_2\text{S}$ hydration was studied in the other work (10), on the suspensions with I/s = 20. The reaction occurred slowly below 80°C and after longer periods of time the $\beta\text{-}\text{C}_2\text{S}$ relics were observed, apart from C-S-H and $\text{Ca}(\text{OH})_2$. At 80°C the $\beta\text{-}\text{C}_2\text{S}$ disappeared after 24h, however, only the nearly amorphous C-S-H and $\text{Ca}(\text{OH})_2$ were present in the hydration products. At temperature up to 130°C the crystalline forms of $\alpha\text{-}\text{C}_2\text{SH}$ were detected. This phase was the only product formed at 150°C after 24 h reaction with water.

The hydration rate increases with $\beta\text{-}\text{C}_2\text{S}$ specific surface. According to Kantro and Weise (11), the rate of $\beta\text{-}\text{C}_2\text{S}$ hydration becomes two times higher as the Blaine specific surface increases from $0.25 \text{ m}^2/\text{g}$ to $0.8 \text{ m}^2/\text{g}$. Fuji and Kondo (12) studied the hydration of fine-grained $\beta\text{-}\text{C}_2\text{S}$ ($\leq 3\text{ }\mu\text{m}$) and found that the process was completed after 90 days. Roy and Oyefesobi (13) revealed that the hydration rate of $\beta\text{-}\text{C}_2\text{S}$ with Blaine specific surface $4 \text{ m}^2/\text{g}$ was about ten times higher than the hydration rate of $\beta\text{-}\text{C}_2\text{S}$ ground to the specific surface $0.3 \text{ m}^2/\text{g}$.

There are no many published reports dealing with the effect of stabilizer on the $\beta\text{-}\text{C}_2\text{S}$ hydration rate. The difference between the different percentage of foreign ions containing dicalcium silicates, as the $\beta\text{-}\text{C}_2\text{S}$ hydration rate was concerned, was firstly reported by Funk (14). However, this author did not explain the reasons. Fierens and Tirlocq (15) confirmed these results and found that the $\beta\text{-}\text{C}_2\text{S}$ hydration rate was strongly bound to the type and amount of stabilizer. Pitts and Daugherty (16) basing upon the studies of reaction with water of $\beta\text{-}\text{C}_2\text{S}$ stabilized with V^{5+} , Cr^{6+} , B^{3+} and S^{6+} , suggested that the rate of hydration became higher with C/r ratio, where C was the oxidation number of stabilizing agent and r – the

licznych form α -C₂SH. Hydrat ten po 24 godzinach prowadzenia procesu w 150°C stanowił w badanym układzie jedyny produkt reakcji β -C₂S z wodą.

Wzrost powierzchni właściwej, zwiększa szybkość reakcji β -C₂S z wodą. Kantró i Weise (11) wykazali, że zwiększenie powierzchni właściwej β -C₂S oznaczonej metodą Blaine'a z 0,25 m²/g do 0,8 m²/g powoduje niemal dwukrotny wzrost szybkości hydratacji β -C₂S w jej początkowym okresie. Fujii i Kondo (12) badali hydratację β -C₂S o uziarnieniu $\leq 3\mu\text{m}$ i stwierdzili, że zachodzi ona w pełni w okresie 90 dni. Roy i Oyefesobi (13) wykazali, że szybkość hydratacji β -C₂S o powierzchni właściwej 4 m²/g jest około 10 razy większa niż β -C₂S zmieszanego do powierzchni właściwej 0,3 m²/g (wg Blaine'a).

Badania zależności szybkości hydratacji β -C₂S od rodzaju użytego stabilizatora stanowiły przedmiot stosunkowo niewielkiej liczby publikacji. Na różnice szybkości reakcji z wodą ortokrzemianu wapnia zawierającego różne ilości obcych jonów zwrócił uwagę już Funk (14), nie wyjaśniając jednak przyczyn obserwowanych różnic. Fieren i Tirlocq (15) potwierdzili obserwacje Funka (14) i wykazali, że szybkość hydratacji β -C₂S uzależniona jest od rodzaju stabilizatora oraz od jego zawartości w β -C₂S. Pritts i Daugherty (16) opierając się na wynikach badań hydratacji β -C₂S stabilizowanego jonami: V⁵⁺, Cr⁶⁺, B³⁺ i S⁶⁺ sugerowali, że szybkość hydratacji krzemianu dwuwapniowego wzrasta wraz z obniżeniem stosunku C/r, gdzie C oznacza stopień utlenienia stabilizatora, natomiast r jest jego promieniem jonowym. Zgodnie z tymi sugestiami, najszybciej z wodą reagował β -C₂S, do struktury którego wprowadzono kationy V⁵⁺ (C/r = 8,5), naj wolniej zaś β -C₂S zawierający jony siarki S⁶⁺ (C/r = 20,0). Parkash i Mehta (17) wykazali, że obecność jonów Cr³⁺ w układzie β -C₂S–H₂O opóźnia hydratację krzemianu dwuwapniowego. Cussino, Montanaro i Negro (18) stwierdzili, że obecność wanadu w strukturach minerałów klinkierowych opóźnia ich reakcje z wodą. Z kolei, obserwowany wzrost wytrzymałość cementów zawierających bar pozwala przypuszczać, że wprowadzenie do β -C₂S określonych ilości Ba²⁺ może przyspieszyć jego hydratację (19).

Stosunkowo dużo uwagi poświęcono ocenie wpływu, jaki na hydratację β -C₂S, wywierają jony P⁵⁺, jednak wnioski różnią się znacznie (20,21). Moudilou (22) sugeruje, że w temperaturze 60°C belit obecny w klinkierze zawierającym 0,70% mas. P₂O₅, szybciej ulega hydratacji, niż belit w klinkierze o zawartości 0,14% P₂O₅. W temperaturze 20°C szybciej z wodą reagował natomiast belit stanowiący składnik klinkieru portlandzkiego o mniejszej zawartości P₂O₅. Autor (22) przypuszcza, że przyczyną „aktywacji” w wyższej temperaturze belitu zawierającego większą ilość fosforu jest wytrącanie się podczas reakcji z wodą hydroksyapatytu, który wiążąc wodorotlenek wapnia, przyspiesza reakcje zachodzące w układzie β -C₂S–H₂O.

3. Część doświadczalna

Badania hydratacji β -C₂S wykonane zostały na próbkach zawierających 0,5% molowego: As⁵⁺, B³⁺, Cr⁶⁺, P⁵⁺, V⁵⁺ oraz na prób-

ionic radius. Therefore the hydration occurred with the highest rate in the V⁵⁺ (C/r = 8.5) stabilized β -C₂S paste; the hydration of β -C₂S with S⁶⁺ (C/r = 20.0) was the slowest. Parkash and Mehta (17) found that the presence of Cr³⁺ in the β -C₂S–H₂O system slowed down the reaction with water. Cussino, Montanaro and Negro (18) observed the decelerating effect of vanadium built up to the clinker minerals structure. The strength increase in Ba containing cements allows to conclude that some amount of Ba²⁺ introduced to structure improves the β -C₂S hydration process (19).

More attention was paid to the evaluation of the P⁵⁺ effect on β -C₂S hydration; however the conclusions differ significantly (20, 21). Moudilou (22) observed the acceleration of belite hydration process at 60°C in case of the 0.70% wt. P₂O₅ containing clinker, while the hydration of belite in 0.14% wt. P₂O₅ containing clinker was slower. At 20°C the hydration of belite in the clinker with lower P₂O₅ content was better. There is a suggestion (22) that the “activation” of belite with higher P₂O₅ content at higher temperature is the consequence of hydroxyapatite precipitation; therefore the calcium hydroxide is consumed and the reactions in the system β -C₂S–H₂O are accelerated.

3. Experimental

The studies of the β -C₂S hydration were carried out on the samples with 0.5% (by mole) As⁵⁺, B³⁺, Cr⁶⁺, P⁵⁺, V⁵⁺, as well as on the β -C₂S samples produced by “thermal stabilization”. This was done by five times repeated cycles of C₂S heating at 900°C and subsequent cooling to the room temperature. The hydration was followed at 20 ± 2°C in the pastes produced at I/s = 0.5. The Blaine specific surface of β -C₂S was 4400–4700 cm²/g. The XRD studies in the samples with stabilizers showed no other phases than β -C₂S, while in the material stabilized by thermal treatment the γ -C₂S content was below 3%. The hydration degree was determined by XRD with internal standard; the intensity of β -C₂S peak corresponding to the angle 41.22° 2θ CuK_a. The hydration degree was calculated as follows:

$$SH = \frac{I_0 - I_t}{I_0} \cdot 100$$

where: SH – β -C₂S hydration degree after time t, in %,

I₀ – intensity of β -C₂S analytical peak at t = 0,

I_t – intensity of β -C₂S analytical peak at t = t.

The results are shown in Fig. 2.

As it has been found the β -C₂S hydration rate was the highest in the β -C₂S stabilized by thermal treatment. The sequence of hydration activity vs. stabilizer used is as follows: Cr⁶⁺, B³⁺, V⁵⁺, As⁵⁺ and P⁵⁺ (0.5% by mole). In Table 1 the hydration degree of β -C₂S after 14, 28, 90-day hydration are presented.

The effect of particular stabilizing agents on the β -C₂S hydration progress was also evaluated. The β -C₂S hydration degree as a function of Cr⁶⁺ and P⁵⁺ content vs. hydration time is plotted as Fig. 3.

kach β -C₂S uzyskanych w wyniku „stabilizacji termicznej” dokonanej poprzez pięciokrotne powtórzenie wygrzewania C₂S w 900°C i chłodzenia go do temperatury pokojowej. Hydratację prowadzono w temperaturze 20 ± 2°C w zaczynach o stosunku I/s = 0,5. Powierzchnia właściwa β -C₂S wynosiła 4400–4700 cm²/g (wg Blaine'a). Badania XRD wykazały, że w preparatach wyjściowych zawierających stabilizatory nie występują inne faz niż β -C₂S, zaś preparaty β -C₂S stabilizowane termicznie zawierają < 3% γ -C₂S. Stopień hydratacji β -C₂S oznaczano metodą dyfraktometrii rentgenowskiej (metoda wzorca zewnętrznego) poprzez pomiar zmian intensywności refleksu β -C₂S odpowiadającego kątowi ugięcia 41,22° 20 CuK_α. Stopień hydratacji β -C₂S obliczano następująco:

$$SH = \frac{I_0 - I_t}{I_0} \cdot 100$$

gdzie: SH – stopień hydratacji β -C₂S po czasie t, wyrażony w %, I_0 – intensywność refleksu analitycznego β -C₂S w chwili rozpoczęcia hydratacji, I_t – intensywność refleksu analitycznego β -C₂S po czasie t.

Uzyskane wyniki przedstawiono na rysunku 2.

Badania wykazały, że najszybciej z wodą reaguje β -C₂S ustabilizowany w wyniku odpowiednio przeprowadzonej obróbki termicznej, a następnie w kolejności: β -C₂S zawierający 0,5% mol.: Cr⁶⁺, B³⁺, V⁵⁺, As⁵⁺ i P⁵⁺. W tablicy 1, podano stopnie hydratacji preparatów β -C₂S po 14, 28 i 90 dniach trwania procesu.

Tablica 1 / Table 1

ZALEŻNOŚĆ STOPNIA HYDRATACJI β -C₂S OD RODZAJU STABILIZATORA

β -C₂S HYDRATION DEGREE AS A FUNCTION OF STABILIZER

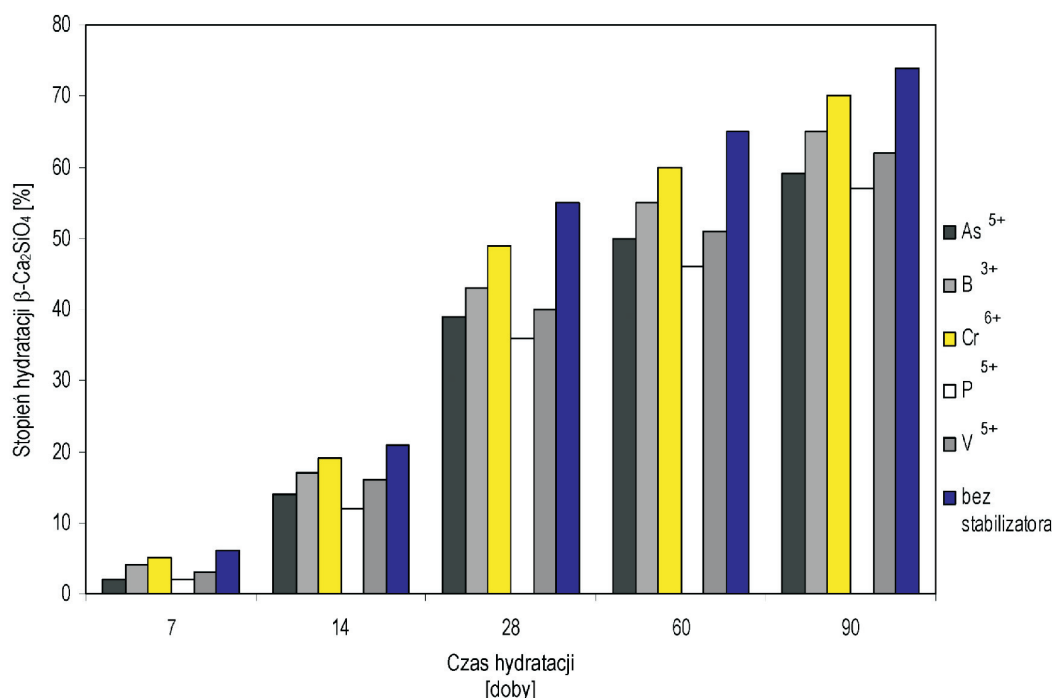
Czas Hydratacji, doby Time, days	Stopień hydratacji β -C ₂ S, % mas./ β -C ₂ S hydration degree, %					Stabilizacja termiczna Thermal stabilization
	As ⁵⁺	B ³⁺	Cr ⁶⁺	P ⁵⁺	V ⁵⁺	
14	14	17	19	12	16	21
28	39	43	49	36	40	55
90	59	65	70	57	62	74

In Table 2 the β -C₂S hydration degree as a function of Cr⁶⁺ and P⁵⁺ in C₂S different contents, 0.3% to 0.7% (by mole) respectively.

Remarks:

- The values in columns 4 and 8 are the differences between the values given in columns 2 and 3, as well as 6 and 7 respectively.
- The values in columns 5 are calculated as follows: (100Δ_{bw}) divided by the value given in column 2, the values in column 9 – (100Δ_{bw}) divided by the value given in column 8.

In order to determine the effect of stabilizer (0.7% by mole) on the β -C₂S hydration progress at early age, the nearly linear Ca(OH)₂ concentration growth with time in the hydrating β -C₂S diluted suspension was taken into account (23). The so-called CaO “leaching value” in β -C₂S suspension was calculated as a CaO content in the liquid phase (vs. time) to CaO in β -C₂S sample ratio. The values thus obtained are given in Table 3.



Rys. 2. Wpływ rodzaju użytego stabilizatora na hydratację β -C₂S. Hydratację prowadzono w temperaturze 20°C w zaczynie o I/s = 0,5

Fig. 2. Effect of stabilizer on the β -C₂S hydration. Hydration at 20°C; I/s = 0,5

The rate of β -C₂S hydration in suspension is the highest for the β -C₂S samples stabilized by thermal treatment; the slowest process is in the case of β -C₂S stabilized with phosphorus. The Ca(OH)₂ concentration in the solution being in equilibrium with β -C₂S thermally stabilized after 28-day storage is about 1.2 g CaO/dm³. The Ca(OH)₂ concentrations in the solutions separated from the 28 days aged suspensions produced using β -C₂S stabilized by Cr⁶⁺ and B³⁺ are 1.02 g CaO/dm³ and 0.98 g CaO/dm³ respectively, while in case of stabilization with P⁵⁺ – almost two times lower and equal to 0.58 g CaO/dm³ (23).

In the next series of experiments the effect of Ba²⁺ on

Dokonano również oceny wpływu zawartości poszczególnych stabilizatorów na postęp hydracji β -C₂S. Zależność stopnia hydracji β -C₂S od zawartości Cr⁶⁺ i P⁵⁺ w krzemianie dwuwapniowym przedstawiono na rysunku 3.

W tablicy 2 przedstawiono natomiast stopnie hydracji preparatów β -C₂S zawierających Cr⁶⁺ i P⁵⁺ oraz zmiany stopni hydracji β -C₂S zaznaczające się przy wzroście zawartości wspomnianych stabilizatorów w C₂S z 0,3% mol. do 0,7% mol.

Uwagi:

- Wartości w kolumnach 4 i 8 stanowią różnice wartości podanych odpowiednio w kolumnach 2 i 3 oraz 6 i 7.
- Wartości w kolumnie 5 obliczono następująco: (100 Δ_{bw}):odpowiednia wartość podana w kolumnie 2, zaś wartości w kolumnie 9 – (100 Δ_{bw}): odpowiednia wartość podana w kolumnie 8.

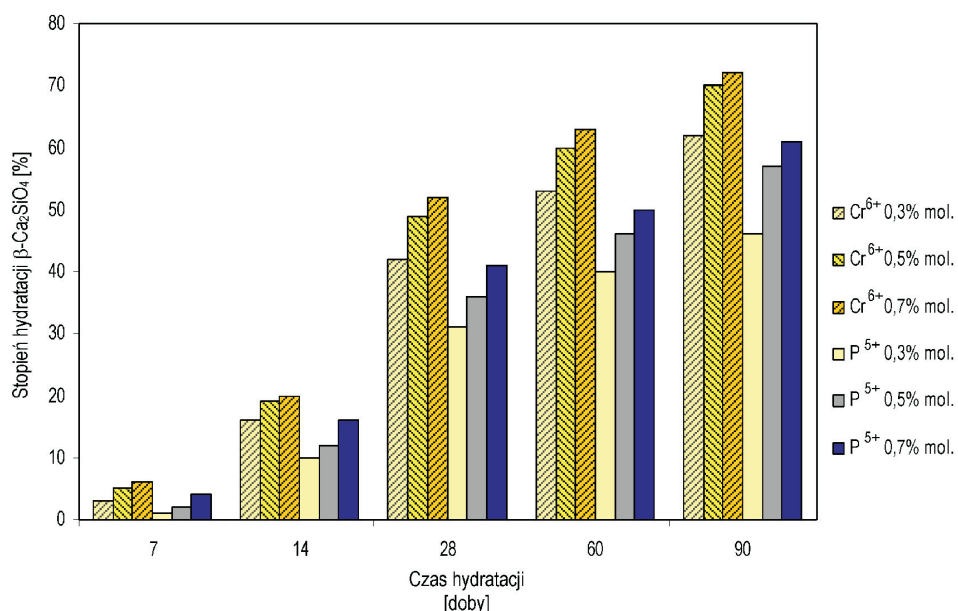
Do określenia wpływu stabilizatorów (0,7% mol.) na postępu hydracji β -C₂S w jej wczesnych stadiach wykorzystano fakt, że zawartość Ca(OH)₂ w roztworach pozostających w kontakcie z hydratującym β -C₂S w zaczynach o dużym I/s rośnie przez długi okres czasu niemal liniowo (23). „Procent wyługowania” CaO z β -C₂S, obliczano dzieląc oznaczoną analitycznie masę CaO, który przeszedł do roztworu przez masę CaO zawartego w wyjściowej próbce β -C₂S użytego do przygotowania analizowanej zawiesiny. Uzyskane wyniki podano w tablicy 3.

Hydracji β -C₂S w zawiesinie przebiega najszybciej w próbkach stabilizowanych termicznie, naj wolniej w preparatach zawierających fosfor. Stężenie Ca(OH)₂ w roztworze pozostającym w kontakcie z β -C₂S otrzymanym w wyniku stabilizacji termicznej wynosi po 28 dniach hydracji około 1,2 g CaO/dm³. Stężenia Ca(OH)₂ w roztworach wydzielonych z zawiesin β -C₂S stabilizowanego dodatkami Cr⁶⁺ i B³⁺ po 28 dniach hydracji wynoszą odpowiednio 1,02 g CaO/dm³ oraz 0,98 g CaO/dm³, zaś stężenie Ca(OH)₂ w roztworze w przypadku hydracji β -C₂S zawierającego P⁵⁺ jest niemal dwukrotnie niższe i wynosi po 28 dniach hydracji 0,58 g CaO/dm³ (23).

Tablica 2 / Table 2

WPŁYW ZAWARTOŚCI Cr⁶⁺ I P⁵⁺ W KRZEMIANIE DWUWAPNIOWYM NA STOPIĘ HYDRATACJI β -C₂S
EFFECT OF Cr⁶⁺ AND P⁵⁺ PERCENTAGE IN DICALCIUM SILICATE ON THE β -C₂S HYDRATION DEGREE

Czas hydracji, doby Time, days	Stopień hydracji β -C ₂ S, % β -C ₂ S hydration degree, %		Δ – różnica stopnia hydracji Difference of hydration degree		Stopień hydracji β -C ₂ S hydration degree		Δ – różnica stopnia hydracji Difference of hydration degree	
	0,3% Cr ⁶⁺	0,7% Cr ⁶⁺	Δ_{bw} %	Δ_w %	0,3% P ⁵⁺	0,7% P ⁵⁺	Δ_{bw} %	Δ_w %
1	2	3	4	5	6	7	8	9
7	6	3	3	50	4	1	3	75
14	20	16	4	20	16	10	6	38
28	51	42	9	18	41	31	10	24
60	63	53	10	16	51	40	11	22
90	72	62	10	14	59	46	13	22



Rys. 3. Zależność stopnia hydracji β -C₂S od zawartości Cr⁶⁺ i P⁵⁺ w krzemianie dwuwapniowym. Temperatura hydracji – 20°C, I/s w zaczynie = 0,5

Fig. 3. β -C₂S hydration degree as a function of Cr⁶⁺ and P⁵⁺ content in dicalcium silicate samples. Hydration at 20°C; I/s = 0,5

β -C₂S hydration was investigated. Barium was introduced to the dicalcium silicate as a Ca²⁺ replacement. The hydration was studied on diluted suspensions. The β -C₂S and Ba₂[SiO₄] (B₂S) samples were hydrated, as well as the materials with composition given by the formulae: Ca_{1,98}Ba_{0,02}[SiO₄] and Ca_{1,94}Ba_{0,06}[SiO₄]. The hydration progress was evaluated basing on the BaO and CaO leaching from the samples. The percentage of CaO and BaO passing to the solution was calculated as it has been mentioned above. The results are presented in Tables 4 and 5.

The hydration process is accelerated in the presence of some amount of barium (1% and 3% by mole) introduced to the β -C₂S structure. In the both cases (Ca_{1,98}Ba_{0,02}[SiO₄] and Ca_{1,94}Ba_{0,06}[SiO₄]) the CaO concentrations in the liquid phase were slightly higher than in β -C₂S suspensions, produced with β -C₂S stabilized by thermal treatment. Barium ions migrate to the solution with higher rate than the calcium ones. For example the yield of BaO leaching from Ca_{1,98}Ba_{0,02}[SiO₄] after 14 days is 44% and after 28 days

Kolejną serię badań stanowiły oznaczenia, których celem było określenie wpływu Ba^{2+} na hydratację $\beta\text{-C}_2\text{S}$. Bar wprowadzano do krzemianu dwuwapniowego, zastępując nim równoważne mu ilości Ca^{2+} . Badania hydratacji przeprowadzono w zawiesinach. Przedmiotem badań były $\beta\text{-C}_2\text{S}$ i $\text{Ba}_2[\text{SiO}_4]$ (B_2S) oraz preparaty, których skład chemiczny można opisać następująco: $\text{Ca}_{1,98}\text{Ba}_{0,02}[\text{SiO}_4]$ i $\text{Ca}_{1,94}\text{Ba}_{0,06}[\text{SiO}_4]$. Oceny postępu hydratacji dokonywano w oparciu o wyługowanie BaO i CaO z wyjściowych preparatów. Procent wyługowania CaO oraz BaO obliczano w sposób analogiczny, jak opisany poprzednio. Wyniki badań przedstawiono w tablicach 4 i 5.

Wprowadzenie do struktury $\beta\text{-C}_2\text{C}$ niewielkich ilości baru (1% i 3% mol.) przyspiesza proces hydratacji. W obydwu przypadkach ($\text{Ca}_{1,98}\text{Ba}_{0,02}[\text{SiO}_4]$ i $\text{Ca}_{1,94}\text{Ba}_{0,06}[\text{SiO}_4]$) zawartości CaO w fazie ciekłej były nieznacznie wyższe niż w przypadku zawiesin przygotowanych z $\beta\text{-C}_2\text{S}$, który został ustabilizowany w wyniku odpowiedniej obróbki termicznej. Jony baru szybciej przechodzą do roztworu niż jony Ca^{2+} . Przykładowo, stopień wyługowania BaO z $\text{Ca}_{1,98}\text{Ba}_{0,02}[\text{SiO}_4]$ po upływie 14 dni wynosił około 44%, zaś po 28 dniach osiągnął wartość około 48% podczas, gdy stopień wyługowania CaO w tym samym okresie czasu był równy odpowiednio 14,6% i 18,8%. Szybsze przechodzenie do roztworu jonów Ba^{2+} w porównaniu z jonami Ca^{2+} skłania do przypuszczeń, że jony baru nie wbudowują się w sposób trwały w strukturę C-S-H.

Analiza roztworów pozostających w kontakcie z B_2S (tablica 4) wykazała, że najwyższy stopień wyługowania BaO z badanych preparatów wynosił około 50%, co z kolei sugeruje, że stosunek molowy Ba:Si w uwodnionym krzemianie baru jest zbliżony do jedności. Sugestia taka jest zgodna z wynikami badań Hann'a, Cooka i Kantro (24)

4. Podsumowanie wyników badań i wnioski

Obserwacje poczynione w trakcie wykonywania badań pozwoliły na sformułowanie następujących wniosków:

1. Obecność w strukturze krzemianu dwuwapniowego stabilizatorów podstawa-jących kationy Si^{4+} zmniejsza aktywność hydrauliczną $\beta\text{-C}_2\text{S}$. Spośród preparatów $\beta\text{-C}_2\text{S}$ stabilizowanych tą samą ilością As^{5+} , B^{3+} , Cr^{6+} , P^{5+} i V^{5+} (0,5% mol.) najniższą aktywnością hydrauliczną wykazywał $\beta\text{-C}_2\text{S}$ zawierający P^{5+} , najwyższą zaś $\beta\text{-C}_2\text{S}$, do którego wprowadzono Cr^{6+} . Zwiększenie w $\beta\text{-C}_2\text{S}$ zawartości każdego z wymienionych stabilizatorów ogranicza szybkość hydratacji $\beta\text{-C}_2\text{S}$.

Tablica 4 / Table 4

PROCENT WYŁUGOWANIA CaO Z $\beta\text{-C}_2\text{S}$ ORAZ BaO Z B_2S

PERCENTAGE OF CaO LEACHED OUT FROM $\beta\text{-C}_2\text{S}$ AND BaO LEACHED OUT FROM B_2S

Czas hydratacji Time	Procent wyługowanego CaO i BaO , % mas. Percentage of leached CaO and BaO , %			
	$\beta\text{-C}_2\text{S}$ stabilizowany termicznie thermally stabilized		B_2S	
	I/s = 100	I/s = 200	I/s = 100	I/s = 200
1 h	4,08	4,76	43,71	47,91
3 h	4,59	6,30	45,40	49,28
6 h	6,01	8,14	47,21	49,72
12 h	6,57	9,09	49,78	50,02
24 h	7,10	10,05	50,00	50,08
3 d	8,73	11,49	50,15	50,08
7 d	11,51	12,10	50,03	50,02
14 d	13,75	13,86	50,01	50,02
28 d	18,80	18,80	50,01	50,00

about 48% respectively, while the values for CaO are 14.6% and 18.8% at the same time. This observations lead to the assumption that the barium ions are not bound strongly with the C-S-H structure. The data presented in Table 4 show that the highest yield of BaO leaching attains 50%; this, in turn, would suggest that Ba:Si molar ratio in the barium silicate hydrate is close to 1. This suggestion is in good agreement with the results of Hann, Cook and Kantro (24).

4. Summary and conclusions

The following conclusions can be drawn basing on the results of the experiments:

Tablica 5 / Table 5

PROCENT WYŁUGOWANIA CaO I BaO Z $\beta\text{-C}_2\text{S}$ ZAWIERAJĄCEGO 1% I 3% MOL. Ba^{2+} . HYDRATACJĘ PROWADZONO W ZAWIESINIE, I/s = 100

PERCENTAGE OF CaO AND BAO LEACHED OUT FROM $\beta\text{-C}_2\text{S}$ WITH 1% AND 3% (BY MOLE) Ba^{2+} . HYDRATION IN SUSPENSION WITH I/s = 100

Czas hydratacji Time	Procent wyługowanego CaO i BaO , % mas. Percentage of leached CaO and BaO , %					
	$\text{Ca}_{1,98}\text{Ba}_{0,02}[\text{SiO}_4]$			$\text{Ca}_{1,94}\text{Ba}_{0,06}[\text{SiO}_4]$		
	CaO	BaO	MeO*	CaO	BaO	MeO*
1 h	4,23	7,39	4,27	4,22	10,23	4,56
3 h	5,18	7,95	5,20	4,93	13,32	5,22
6 h	6,42	10,22	6,43	6,42	15,22	6,43
12 h	7,04	13,64	7,47	7,00	16,80	7,14
24 h	7,39	15,91	7,47	7,40	25,87	7,95
3 d	10,34	20,45	10,44	10,36	30,31	10,95
7 d	11,88	31,82	12,07	11,65	36,10	12,38
14 d	14,62	44,32	14,96	14,55	40,73	15,33
28 d	18,83	47,72	19,12	18,72	45,56	19,52

*Sumaryczny procent wyługowania CaO i BaO obliczony w oparciu o wyniki oznaczeń zawartości CaO i BaO, przeliczonych na równoważną im zawartość CaO.

*Total CaO and BaO percentage calculated basing on the chemical analysis with equivalent to CaO.

2. Wzrost szybkości procesów zachodzących w układzie β - C_2S -H₂O w normalnej temperaturze można osiągnąć poprzez wprowadzenie do struktury C_2S niewielkich ilości jonów Ba²⁺. W czasie hydratacji znaczna część kationów Ba²⁺ stosunkowo szybko przechodzi do roztworu, co powoduje, że stosunek zawartości Ba:Ca w C-S-H jest mniejszy, niż w materiale wyjściowym reagującym z wodą.

Stwierdzenie, że obecność w β - C_2S jonów: As⁵⁺, B³⁺, Cr⁶⁺, P⁵⁺, V⁵⁺ opóźnia hydratację. stanowi pewien paradoks, gdyż wprowadzenie obcych jonów do C_2S jest równoznaczne ze zwiększeniem zdefektowania jego struktury i powinno spowodować wzrost liczby centrów aktywnych przyspieszając hydratację. Wydaje się, że wyjaśnienia należy szukać w pracy Maycocka i McCarthy'ego (25), których rozważania dotyczące przewodnictwa elektrycznego β - C_2S doprowadziły do wniosku, że liczba defektów w strukturze „wyjściowego” C_2S jest na tyle duża, że jej wzrost spowodowany wprowadzeniem „stabilizatora” nie zmienia w sposób istotny zdefektowania struktury β - C_2S . Jeżeli liczba defektów w C_2S nie ulega zmianie w sposób istotny, to szybkość jego hydratacji, niezależnie od rodzaju stabilizatora, powinna być zbliżona do szybkości hydratacji β - C_2S ustabilizowanego „termicznie”. Dzieje się jednak inaczej, wymienione wyżej stabilizatory ograniczają postęp hydratacji tym silniej, im większa jest ich zawartość w β - C_2S . Należy zatem sądzić, że podstawową rolę w kształtowaniu aktywności hydraulicznej krzemianu dwuwapniowego odgrywają nie zmiany zdefektowania struktury β - C_2S , lecz zmiany, które zachodzą w warstwach produktów reakcji β - C_2S z wodą tworzących się na ziarnach krzemianu dwuwapniowego. Jony stabilizatorów prawdopodobnie „doszczelniają” tę warstwę, utrudniając transport jonów wapnia i hamując tym samym hydratację β - C_2S . Bezpośrednie udowodnienie tej tezy jest trudne. Za jej słusznością przemawia jednak to, że wszystkie jony, które opóźniają hydratację β - C_2S są również bardzo dobrymi inhibitorami korozji stali zbrojeniowej w betonach, w wyniku formowania bardzo szczelnej warstwy produktów hydratacji bezpośrednio na warstwie pasywacyjnej, pokrywającej powierzchnię stali. Warto zwrócić również uwagę na stosunkowo dużą szybkość reakcji z wodą β - C_2S stabilizowanego jonami Cr⁶⁺, które to jony są stosunkowo słabo immobilizowane w zaczynach cementowych (26).

Przyspieszenie hydratacji β - C_2S stabilizowanego dodatkami Ba²⁺ również można wyjaśnić w oparciu o rozumowanie przytoczone wyżej. Jak wykazały badania, jony Ba²⁺ szybciej przechodzą do roztworu niż jony Ca²⁺, a stosunek molowy Ba:Ca w C-S-H jest mniejszy niż w materiale wyjściowym. W tym przypadku, nie można mówić o „doszczelnianiu” warstw C-S-H formujących się na ziarnach β - C_2S . Należy przypuszczać, że przenikanie przez warstwy produktów hydratacji jonów baru, o większym promieniu jonowym niż promień jonowy Ca²⁺, sprzyja „rozluźnieniu” tej warstwy i migracji przez nią jonów wapnia, co jest równoznaczne z przyspieszeniem hydratacji β - C_2S . Chcąc zatem zwiększyć aktywność hydrauliczną β - C_2S , należy wzbogacić go w kationy o większym promieniu jonowym niż Ca²⁺, nie dopuszczając jednak do nadmiernego rozrostu ziaren C_2S podczas jego syntezy.

1. The stabilizers replacing the Si⁴⁺ cations in the dicalcium silicate structure reduce the hydraulic activity of β - C_2S . Among the β - C_2S samples stabilized by As⁵⁺, B³⁺, Cr⁶⁺, P⁵⁺ and V⁵⁺ (the same amount – 0.5% by mole) the β - C_2S with P⁵⁺ exhibits the lowest activity, while the β - C_2S sample with Cr⁶⁺ - the highest. The β - C_2S stabilizer concentration increase brings about the hydraulic activity decrease.

2. The acceleration of the process occurring in the β - C_2S - H₂O system at ambient temperature can be achieved by incorporation of some Ba²⁺ ions to the C_2S structure. A substantial amount of Ba²⁺ cations is liberated quickly to the solution during hydration and therefore the Ba:Ca molar ratio in C-S-H is lower than in the initial material subjected to the reaction with water.

The general conclusion that in the presence of As⁵⁺, B³⁺, Cr⁶⁺, P⁵⁺, V⁵⁺ ions the β - C_2S hydration process is retarded seems to be a paradox, because the incorporation of foreign ions to the β - C_2S structure is equivalent to the disordering of the structure and consequently by an increase of active centers concentration it should favor the hydration. It seems that the explanation might be found in the work by Maycock and McCarthy (25). These authors discussed the β - C_2S electrical conductivity and concluded that the concentration of lattice defects in the structure of “basic” β - C_2S was so high that the incorporation of stabilizer would not change significantly the imperfection state of this phase. If the concentration of defects in C_2S is generally constant, the hydration rate should be similar to that for β - C_2S stabilized by thermal treatment, irrespectively of stabilizer used. However, the progress of hydration is slower as the concentration of stabilizers in β - C_2S is higher. One can conclude that the imperfection of the β - C_2S structure has no significant influence on hydraulic activity but rather some transformations in the surface layers of hydrated products formed on β - C_2S grains. In the presence of stabilizing agents the surface layer becomes presumably fairly impermeable and therefore the migration of calcium ions is hindered and consequently, the β - C_2S hydration is retarded. It is difficult to prove his hypothesis directly but it should be however supported indirectly by the fact that all these ions, which appear as the β - C_2S hydration rate reducers, act also as the steel corrosion inhibitors in concrete, forming a very tight layer of hydration products. This layer, adjacent to the passivation layer, protects the steel surface. It is worthwhile to paid the attention to the relatively high hydration rate of β - C_2S stabilized by Cr⁶⁺, relatively poorly immobilized in cement pastes (26).

The acceleration of stabilized with Ba²⁺ dicalcium silicate reaction with water can be also explained basing on the consideration presented above. As it has been found in the experiments, the Ba²⁺ ions are more intensively liberated to the liquid phase than the Ca²⁺ ones and the Ba:Ca molar ratio in C-S-H is lower than in anhydrous material. There is no impermeable layer of C-S-H formed on the surface of β - C_2S . One should rather presume that because of the transport of big Ba²⁺ ions through the layer of hydration products, the structure is loosened and the migration of Ca²⁺ ions becomes possible; this is equivalent to the β - C_2S hydration acceleration. Therefore the modification of β - C_2S hydraulic activity

Literatura / References

1. K. Quillin, Cem. Concr. Res., 34, 1341 (2004).
2. W. Kurdowski, A. Thiel, Cem. Concr. Res., 21, 29 (1981).
3. M. Gawlicki, Ceramika, 104, 7 (2008).
4. W. Kurdowski, Chemia cementu. Wyd. Nauk. PWN. Warszawa 1991.
5. M. Gawlicki, Ceramika, 103, 989 (2008).
6. E. Duczymińska, Praca doktorska, Kraków, AGH, 1969.
7. M. Handke, W. Ptak, Ceramurgia International, 4(2), 75 (1978).
8. I. Odler, Rozdział w: Lea's chemistry of cement and concrete. (ed. P.C Hewlett). Elsevier Ltd. 4th ed. 1988, reprinted 2006, 241-297.
9. H. Ishida, K. Sasaki, T. Mitsuda: J. Am. Ceram. Soc., 75(2), 353 (1992).
10. K. Yanagisawa, X. Hu, A. Onada, K. Kajiyoshi, Cem. Concr. Res., 36, 81 (2006).
11. D.L Kantro C.H. Weise, J. Am. Ceram. Soc., 62(11-12), 621 (1979).
12. K. Fujii, W.Kondo, J. Am. Ceram. Soc., 62(3-4), 161 (1979).
13. D. M Roy, S.O. Oyefesobi, J. Am. Ceram. Soc., 60(3-4), 161 (1979).
14. H. Funk, Z. Anorg. und Algem. Chem., 291, 276 (1957).
15. P. Fierens, J. Tirlocq, Cem. Concr. Res., 13, 267 (1983).
16. I.M. Pritts, K.E. Daugherty, Cem. Concr. Res., 6, 783 (1976).
17. R. Parkash, S.K. Mehta, Termochimica Acta, 424, 17 (2004).
18. L. Cussino, L. Montanaro, A. Negro, Il Cemento, 4, 435 (1986).
19. W. Kurdowski, Prace Komisji Ceramicznej PAN, Ceramika, 18, 1 (1972).
20. A. Kiyoshi, Proc. 9th Int. Congr. Chem. Cem., New Delhi, Vol. IV, 181 (1992).
21. P.W. Brown, J. Am. Ceram. Soc., 75(1), 17 (1992).
22. E. Moudilou, F. Amin, B. Bollotte, Proc. 12th Int. Congr. Chem. Cem., Montreal, Canada, 8-13 July 2007. CD, T1-04.1.
23. M. Gawlicki, W. Nocuń-Wczelik, Proc. 8th Int. Congr. Chem. Cem., Rio de Janeiro, vol. III, 183 (1986).
24. M. Hanna, R.L. Cook, D.L. Kantro, Journal of Applied Chem., 20, 334 (1970).
25. J.N. Maycock., M. McCarthy, Cem. Concr. Res., 3, 701 (1973).
26. A. Bobrowski, M. Gawlicki, J Małolepszy, Env. Sci. & Technol., 31, 745 (1997).